



ارقاء قدرت تفکیک داده‌های لرزه‌ای با استفاده از فسرده‌سازی تبدیل موجک گستته

فرخاد ملائی^{۱*}، امین روشن‌دل کاهو^۲، بهزاد تخم‌چی^۳، علیرضا‌کوهردی^۴، میراحمد حسینی^۵، دانشکده هندسه‌ی معدن، نفت و ژئوفزیک، دانشگاه شاهرود

چکیده

موجک‌ها نمونه‌های انتقال یافته و مقیاس شده یک تابع (موجک مادر) با طول متناهی و نوسانی شدیداً میرا هستند. یکی از روش‌های افزایش پنهانی باند و قدرت تفکیک داده‌های لرزه‌ای، استفاده از تبدیل موجک است. در این مقاله از تبدیل موجک گستته پایا به عنوان ابزاری برای ارتقاء قدرت تفکیک داده‌های لرزه‌ای استفاده شده است. برای این منظور، ضمن مشخص کردن ضرایب موجک در داده‌های لرزه‌ای در مقیاس‌های بالاتر (فرکانس‌های پایین‌تر) و پیش‌بینی آنها در مقیاس‌های بالاتر، نسبت به بالا بردن قدرت تفکیک در داده‌های لرزه‌ای اقدام شده است. روش کار به این صورت بود که ابتدا ردلرزه و رودری با استفاده از تبدیل موجک پایا تجزیه شد و سپس برونویابی برپایه تبدیل هیلبرت انجام گرفت. در نهایت، همه این ضرایب با وارون تبدیل موجک پایا باز گردانده شد که حاصل تبدیل موجک فشرده شده بود. درنتیجه، این روش باعث افزایش قدرت تفکیک در داده‌های لرزه‌ای می‌گردد.

واژگان کلیدی افزایش قدرت تفکیک، تبدیل موجک گستته، تبدیل هیلبرت، داده‌های لرزه‌ای، ردلرزه

مقدمه

پنهانی باند داده‌های لرزه‌ای ثبت شده در لرزه‌نگاری انعکاسی پس از عبور از زمین بهشدت تضعیف می‌شود؛ به عبارتی، پاسخ چشمۀ موج لرزه‌ای دارای پنهانی زمانی محدود می‌باشد. پس ردلرزه بدست آمده در مرحله عملیات دارای قدرت تفکیک مطلوبی نمی‌باشد. از آنجا که انتشار موج لرزه‌ای در درون زمین یک فیلتر پایین گذراست، مدام باعث میرایی فرکانس‌های بالا و افت پنهانی باند فرکانسی داده‌ها می‌گردد که این کاهش پنهانی باند فرکانسی مشکلات تفسیر را افزایش می‌دهد. باز گرداندن فرکانس‌های بالا از سیگنال‌های لرزه‌ای باند محدود، یک مشکل بزرگ در اکتشافات ژئوفزیکی است. تاکنون روش‌های مختلفی برای افزایش و بهبود قدرت تفکیک زمانی داده‌های لرزه‌ای ارائه شده‌اند. روش‌های وارون‌سازی^[۱] که از طریق نگاشت داده‌های لرزه‌ای به اسپایک، قدرت تفکیک داده‌های لرزه‌ای را افزایش می‌دهند، نیاز به اطلاعاتی در مورد موجک چشمۀ لرزه‌ای دارند. این اطلاعات یا از طریق نگاره‌ای چاه بدست می‌آیند که در اینصورت فرض می‌شود موجک پایا است و در صورت عدم دسترسی به نگاره‌ای چاه از واهمامیخت^{*} داده‌های لرزه‌ای محاسبه می‌شوند، که در این حالت، سری بازتاب، یک سری اتفاقی یا طیف سفید فرض می‌شود. در روش چرخش طیفی^[۲] که برای افزایش قدرت

۱- تبدیل موجک گستته

ابتدا روابط موجود در تبدیل موجک، ارائه و در ادامه به تبدیل

* نویسنده عهده‌دار مکاتبات (mollaeifarhad@yahoo.com)

نمونه هایش ثابت است. از طرف دیگر، سیگنال بدون نویه را می توان با تعداد محدودی از ضرایب تبدیل موجک نشان داد که دارای دامنه بزرگی هستند و مربوط به اغلب ضرایب تبدیل موجک حاصل از نویه است. شکل ۲ فرآیند حذف نویه با تبدیل موجک گسسته را نشان می دهد.

هیلبرت پرداخته می شود. در انتهای نتایج الگوریتم، جهت افزایش قدرت تفکیک ارائه می گردد.

تبدیل موجک تابع $(t)X$ به صورت رابطه زیر بیان می شود [۷].

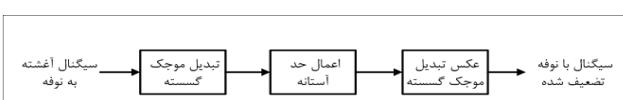
$$W_x(a, b) = \int x(t)\psi^*_{a,b}(t)dt \quad (1)$$

۲- تبدیل هیلبرت

تبدیل هیلبرت اگرچه در رشته های مهندسی الکترونیک و آنالیز و پردازش سیگنال از زمان های دور به کار می رفته، اما کاربرد آن در ژئوفیزیک از ۱۹۷۰ شروع شده است [۱۱]. روش تبدیل هیلبرت یک روش حل مستقیم است. هدف از به کار گیری تبدیل هیلبرت در تحقیقات ژئوفیزیک، ایجاد معادلات بیشتر برای تعیین پارامترهای ساختارهای مدفعون با کاربرد گرادیان کامل داده های قابل دسترس است [۱۲]. برای تعیین پارامترهای ساختارهای مدفعون از ریشه ها و نقاط تقاطع پتانسیل بی هنجاری و گرادیان کامل پتانسیل بی هنجاری استفاده می شود. بنابراین، مناسب ترین فاصله نمونه برداری باید انتخاب شود. خطای ± 1 درصد در انتخاب فاصله نمونه برداری قابل قبول است [۱۳]. تبدیل هیلبرت را می توان از راههای گوناگون همچون روش تبدیل فوریه و همامیخت، عملی ساخت. در استفاده از تبدیل هیلبرت، پارامتر حل معادلات برای هر ساختار متفاوت است. بنابراین، مدل های در نظر گرفته شده برای بی هنجاری، قبل از استفاده از تبدیل هیلبرت باید مشخص شوند. در مواردی که تبدیل هیلبرت به واسطه تبدیل فوریه به دست آمده است، ممکن است نوعی ناپیوستگی در تعیین ریشه ها و نقاط انتقال ایجاد شود. این ناپیوستگی را باید قبل از کاربرد تبدیل هیلبرت حذف کرد. همچنین در مواردی که از روش همامیخت استفاده می شود، یک جایگایی در ریشه ها و نقاط انتقال می افتد که این جایگایی بستگی به عملگر همامیخت دارد. بنابراین، انتخاب طول همامیخت باید با دقت کافی صورت گیرد [۱۲]. تبدیل هیلبرت اولین بار در تفسیر داده های مغناطیسی بی هنجاری های دو بعدی مورد استفاده قرار گرفت [۱۴]. در تحقیقات لرزه شناسی هم برای تبدیل هیلبرت یک تریس گرفته شده از یک ردیلزه مرکب کاربرد دارد [۱۵]. در روش گرانی نیز از تبدیل هیلبرت برای تعیین پارامترهای گسل استفاده شده است [۱۶].

۳- اعمال روشن برای ارتقاء قدرت تفکیک روی داده مصنوعی و واقعی

برای بررسی کارایی روش های متداول، از مدل مصنوعی که در اکثر مقالات معتبر، بدان اشاره شده است، استفاده می شود. در ساخت ردیلزه مصنوعی، موجک با فاز صفر و با سامد غالب ۱۵



۲ فرآیند حذف نویه با تبدیل موجک گسسته [۱۰]

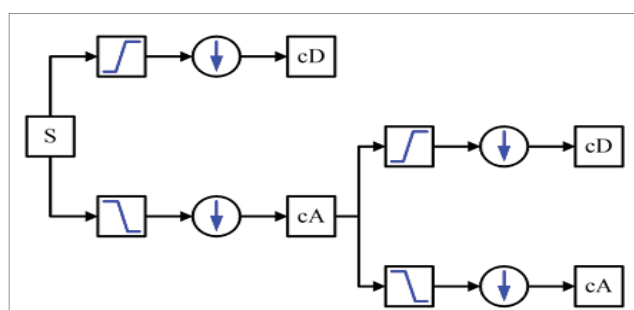
که در آن $*$ نشان دهنده مزدوج مختلط، $(t)X\psi^*$ موجک، a بیانگر مقیاس و b بیانگر مرکز پنجره موجک یا بیانگر جابجایی در راستای محور زمان است. $(t)\psi(a,b)$ نسخه مقیاس شده (a) و انتقال یافته در زمان (b) موجک مادر است که با استفاده از رابطه (۲) بدست می آید.

$$\psi_{a,b}(t) = \frac{1}{\sqrt{a}} \psi\left(\frac{t-b}{a}\right) \quad (2)$$

در تبدیل موجک پیوسته، $a \in R^+$ و $b \in R$ است. به عبارت دیگر، محاسبات برای همه مقادیر مقیاس و انتقال صورت می گیرد. اما در تبدیل موجک گسسته $(j,k) \in Z^2$ است. این به آن معناست که محاسبات تبدیل موجک گسسته در مقادیر خاصی از مقیاس و انتقال (دودویی) به انجام می رسد.

مالات با معرفی الگوریتم تبدیل موجک سریع، روشی بر مبنای فیلترها برای محاسبه ضرایب تبدیل موجک گسسته معرفی کرد. این فیلترها به صورت جفت فیلترهای بالاگذر و پایین گذر در هر مرحله از تجزیه بر روی سیگنال اعمال می شود و پس از آن تعداد نمونه ها کاهش می یابد. نتایج حاصل، شامل یک سیگنال تقریب کلی (cA) و یک سیگنال جزئیات (cD) است. در مرحله بعد، می توان دوباره سیگنال تقریب کلی را تجزیه و عمل را تا هر مرحله از تجزیه ادامه داد. تبدیل موجک گسسته را می توان به صورت یک سری بانک فیلتر در نظر گرفت که روی سیگنال اعمال می شوند [۸][۹]. در شکل ۱ تبدیل موجک به صورت شماتیک نشان داده شده است.

در این مقاله، از تبدیل موجک گسسته پایا استفاده شده است. این تبدیل مانند تبدیل گسسته معمولی است با این تفاوت که دیگر، کاهش تعداد نمونه ها صورت نمی گیرد و سیگنال، پس از تجزیه تعداد



۱ طرح کلی از روند محاسبات در تبدیل موجک گسسته [۹]



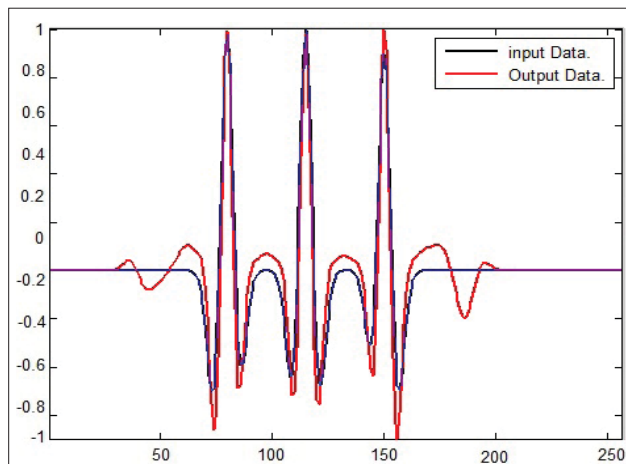
هرتز و زمان ۴ میلی ثانیه استفاده شده است. موجک و سری بازتاب در شکل ۳ نشان داده شده است.

در ادامه، ردلرزه ورودی با استفاده از همامیخت موجک و سری بازتاب، ساخته شده و با استفاده از تبدیل موجک گستته پایا ردلرزه به مقیاس‌های مختلف تجزیه می‌شود. شکل ۴ حاصل هفت مرحله تجزیه از ردلرزه مصنوعی را نشان داده است.

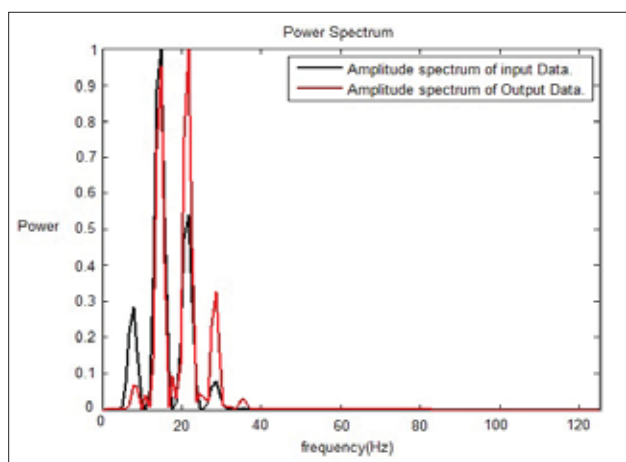
در مرحله بعد پس از تجزیه ردلرزه، عملیات زیر بر روی ردلرزه ورودی انجام می‌گیرد:

الف: پوش هیلبرت ردلرزه ورودی محاسبه می‌شود.

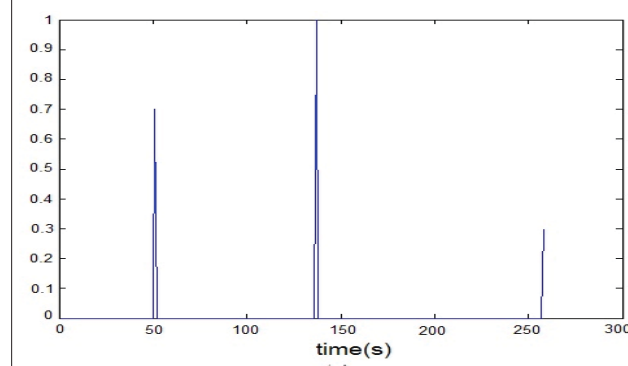
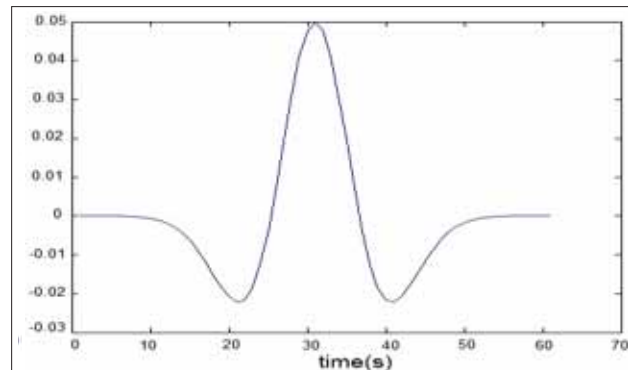
ب: این پوش با یک پنجره هموار کننده مثلثی (smoother triangular) که نیمی از طول فیلتر موردنظر است (در این جا طول این فیلتر $\frac{1}{8}$ طول ردلرزه درنظر گرفته می‌شود)، همامیخت می‌شود.



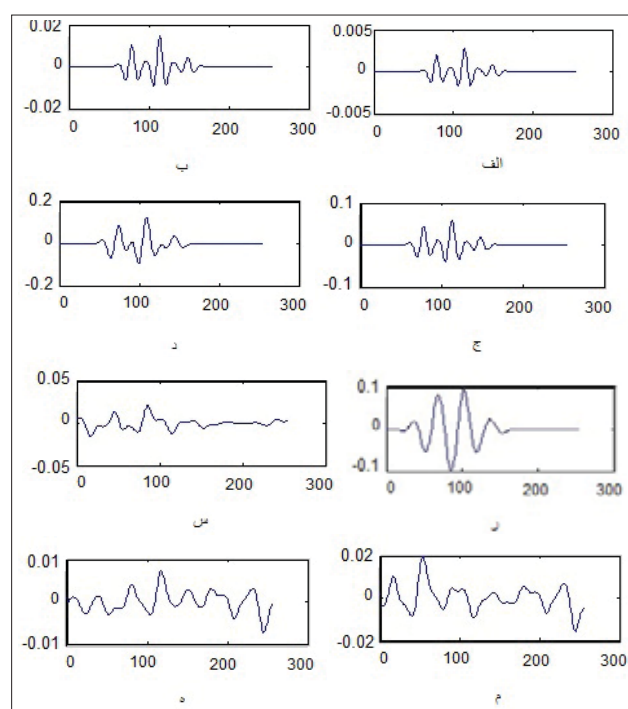
۵ تداخل سه بازتابنده با یکدیگر (ردلرزه ورودی سیاهرنگ و ردلرزه خروجی قرمزنگ است)



۶ طیف دامنه که در این طیف ارتقای فرکانسی را نشان می‌دهد (طیف دامنه ورودی سیاهرنگ و طیف دامنه خروجی قرمزنگ است)



الف) موجک با فاز صفر. ب) سری بازتاب



۷ مشاهده هفت مرحله تجزیه ردلرزه ورودی با تبدیل موجک گستته پایا از چپ به راست: الف) ردلرزه ورودی. ب) تا مرحله اول تا هفتم تجزیه ردلرزه ورودی

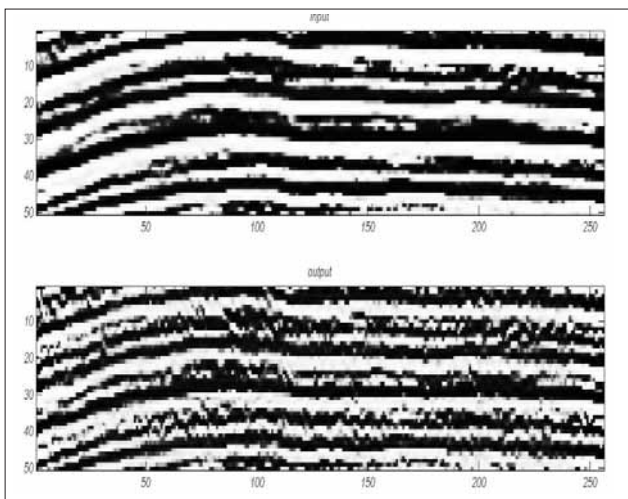
ج: ردیزه ورودی به پوش‌های هموار شده تقسیم می‌شود و نهایتاً با یک، نرمالایز می‌گردد.

از روی این پوش، مقادیر جایگزینی که صفر هستند، تخمین زده شده و در مکان مورد نظر، قرار می‌گیرد. توجه شود که این روش در صفحه موجک، طول ردیزه را نمونه‌های نظری ضرایب موجک از مقیاس‌های مختلف در نظر می‌گیرد و در نهایت همه این ضرایب که باز گردانده شده‌اند، با اورون تبدیل موجک گسته‌پایا، تبدیل موجک فشرده شده را ارائه می‌دهد.

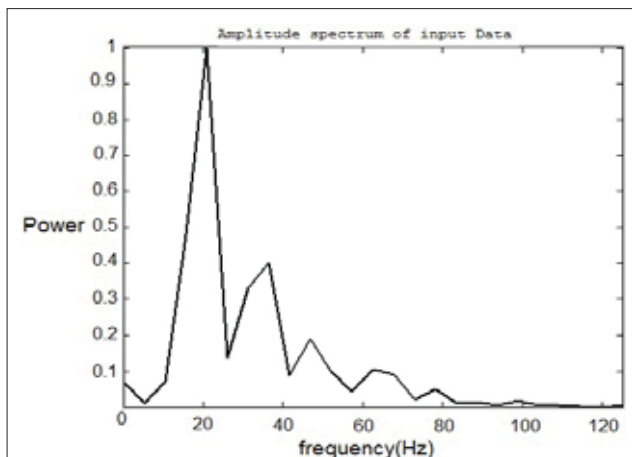
شکل ۷ با استفاده از الگوریتم گفته شده، سه بازتابنده را نشان می‌دهد که با یکدیگر تداخل کرده‌اند. در این شکل، ردیزه ورودی، سیاهرنگ و ردیزه خروجی قرمز رنگ است. این روش به خوبی توانسته است که مرزهای تداخل را مشخص کند و موجک، فشردگی قابل قبولی دارد. شکل ۶ طیف دامنه را نشان می‌دهد. در این طیف، ارتقای فرکانسی کاملاً مشاهده می‌گردد. هدف، فشردگی مورد نظر برای افزایش محدوده فرکانسی جهت تشخیص لایه نازک در یک مقطع لرزه‌ای است. طیف دامنه ورودی سیاهرنگ است که محدوده فرکانسی تا ۲۵ هرتز را شامل می‌شود و طیف دامنه خروجی قرمز رنگ بوده و محدوده فرکانسی بیشتر از ۴۰ هرتز را در بر می‌گیرد.

در ادامه، این الگوریتم بر روی داده‌های واقعی انجام شده است که نتایج آن بیان کننده افزایش قدرت تفکیک داده‌های لرزه‌ای است. داده واقعی مورد بررسی در این مقاله، مربوط به میدان نفتی منصوری واقع در جنوب ایران می‌باشد. مقطع لرزه‌ای واقعی دارای ۶۴ ردیزه و فاصله نمونه‌برداری ۴ میلی ثانیه است. شکل ۷(الف) بیانگر طیف دامنه ورودی داده لرزه‌ای واقعی است که تقریباً نشان‌دهنده محدوده فرکانسی ۴۵ هرتز است؛ شکل ۷(ب) طیف دامنه خروجی داده لرزه‌ای واقعی است که محدوده فرکانسی بیشتر از ۸۰ هرتز را نشان می‌دهد. این افزایش پهنای باند فرکانسی باعث افزایش قدرت تفکیک داده‌های لرزه‌ای می‌گردد.

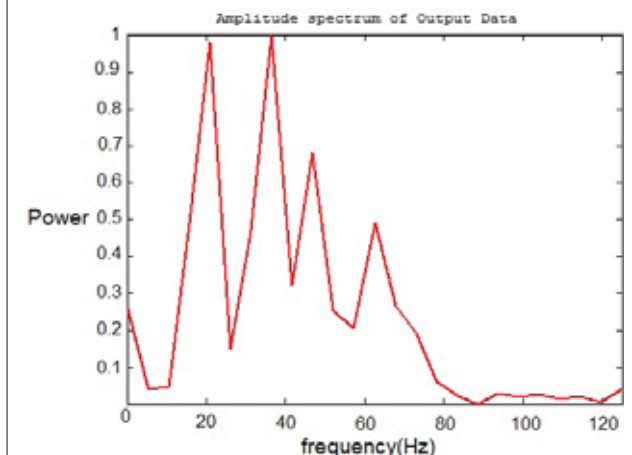
شکل ۷(ج) مقایسه بین طیف دامنه ورودی و طیف دامنه خروجی داده‌های



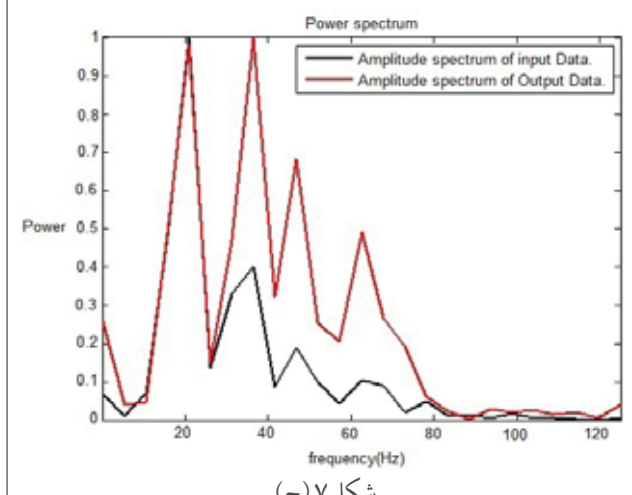
۸ | افزایش قدرت تفکیک داده‌های لرزه‌ای را در داده‌های لرزه‌ای واقعی



شکل ۷(الف)



شکل ۷(ب)



شکل ۷(ج)

۷ | طیف دامنه داده‌های لرزه‌ای واقعی. (الف) طیف دامنه ورودی. (ب) طیف دامنه خروجی. (ج) مقایسه طیف دامنه ورودی و خروجی. رنگ سیاه طیف دامنه داده‌های ورودی و رنگ قرمز طیف دامنه خروجی



نتیجه‌گیری

افزایش قدرت تفکیک داده‌های لرزه‌ای یکی از مهم‌ترین مراحل پردازش ژئوفیزیکی می‌باشد که در تشخیص لایه نازک کاربرد گسترده‌ای دارد. این کار باعث شناسایی بهتر و دقیق‌تر تله‌های ساختمانی می‌شود و امروزه در اکتشاف منابع هیدروکربوری اهمیت زیادی دارد. در این مقاله برای افزایش قدرت تفکیک داده‌های لرزه‌ای از تبدیل موجک گسسته پایا استفاده گردید. با به کار گیری روش برونیابی وابسته به داده، علاوه بر افزایش فرکانس، از تضعیف دامنه جلو گیری شد. استفاده از تبدیل موجک گسسته پایا و براساس برونیابی برپایه تبدیل هیلبرت به عنوان روشی نوین قلمداد می‌گردد که در آن، پوش هیلبرت محاسبه شده، با یک پنجره هموار کننده مشابه همایخت. می‌توان قدرت تفکیک داده‌های لرزه‌ای و درشت‌نمایی آن را افزایش داد. همچنین لایه‌های نازک و تله‌های ساختمانی را شناسایی کرد. هر چه لایه نازک دقیق‌تر شناسایی گردد، تخمین پتانسیل هیدروکربوری محدوده مورد نظر دقیق‌تر و به واقعیت نزدیک‌تر خواهد بود.

واقعی رانشان می‌دهد که این افزایش پهنای باند فرکانسی را می‌توان مشاهده کرد. شکل ۸ مقطع ورودی و خروجی افزایش قدرت تفکیک داده‌های لرزه‌ای واقعی رانشان می‌دهد. طیف دامنه داده‌های ورودی با رنگ سیاه و طیف دامنه خروجی با رنگ قرمز نشان داده شده است. پس با توجه به الگوریتم بیان شده و نتایج آن که در بالا نشان داده شد و با توجه به شکل‌های ۷ و ۸ که روی داده واقعی اعمال شده است، می‌توان افزایش پهنای باند فرکانسی و در نتیجه، افزایش قدرت تفکیک داده‌ای را مشاهده کرد. این روش را با استفاده از تبدیل موجک گسسته پایا و براساس برونیابی برپایه تبدیل هیلبرت می‌توان به عنوان روشی نوین برای ارتقاء قدرت تفکیک داده‌های لرزه‌ای به کار برد.

به طور کلی می‌توان مسیر انجام الگوریتم ارائه شده برای افزایش قدرت تفکیک داده‌های لرزه‌ای را به صورت زیر بیان کرد (شکل ۹).



شکل ۹ | مسیر انجام الگوریتم افزایش قدرت تفکیک داده‌های لرزه‌ای

پانویس‌ها

¹mollaeifarhad@yahoo.com
²roshandel@shahroodut.ac.ir

³tokhmechi@ut.ac.ir
⁴aligoudarzi@ut.ac.ir

⁵ahosseinyre@yahoo.com
⁶deconvolution

منابع

- [1] Castagna, J. P., Sun, S., and Siegfried, R. W., 2003, Instantaneous spectral analysis: Detection of low-frequency shadows associated with hydrocarbons.
- [2] Countiss, M. L., 2002, Frequency- enhanced imaging of stratigraphically complex, thin bed reservoir: A case study from South Marsh Island: Leading Edge, 21, 826-836.
- [3] Yilmaz , O., 2001,"Seismic data prossing ", SEG.
- [4] Zhou, Y., Dellinger J., Gutowski P., and Garossino P., 10-15 october2004 ." seismic resolutionenhancement in the wavelet transform domain" AIT , BP America. SEG int Exposition and 74th annual meeting * Denver, Colorado* .
- [5] Mallat, S., 2009 “ A Wavelet Tour of Signal Processing”3th.
- [6] Mallat S., 1999, A wavelet tour of signal processing. Academic Press, New York.
- [7] Poularikas, A . D ., 2000, the transform and application Handbook. 2nd adition , CRC Press.
- [8] D.Lee Fugal ,Conceptual Wavelets in digital signal processing .2009 Space & Signal Technologies LLC, All Rights Reserved. www.ConceptualWavelets.com.
- [9] Mundim ,E. C., Schots, H. A., and Araujo, J. M., 2006, WTdecon, a colored deconvolution implemented by wavelet transform , the Leading Edge , April , 398-401.
- [10] Donoho, D.L., 1995, De-noising by soft-thresholding: IEEE Trans. On Inf . Theory, 41, 613-627.
- [11] Bracewel, R. M, 1985,TheFourier Transform and its Applications: Mac Graw-Hill, New York, 268 p.
- [12] Akgun, M., 2000, Estimation of some bodies parameters from the self potential method using Hilbert transform: Journal of the Balkan geophysical society, 4(2), 29-44.
- [13] Hafez, M. A., 2009, A new approach to interpret self-potential anomaly over a two dimensional inclined sheet using complex gradient analysis: J Geophys Eng, 2, 97–102.
- [14] Rao, A. D., Babu, R. H. V., and Sivakumar, S. G. D., 1982, A Fourier transform method for the interpretation of self-potential anomalies due to two-dimensional inclined sheet of finite depth extent: Pure Appl. Geophys, 120, 365–74.
- [15] Taner, M. T., Koehler, F., and Sheriff, R. E., 1979, Complex seismic trace analysis: Geophysics, 44, 1041-1063.
- [16] Pinar, R., 1985, Karmaşık gradient yonteminin duşey sureksızlıklere uygulanması ve bilgisayarlarla gerçekleştirimi: E. Ü. Bilgisayar Arastirma ve Uygulama Merkezi Dergisi, Cilt: 8, Sayı:1. (In Turkish with English Abstract).